

การศึกษาเพื่อกำหนดมาตรฐานการทดสอบแผงรับแสงอาทิตย์แบบแผ่นเรียบ



นายสันติ คุณาวุฒิ

003987

วิทยานิพนธ์นี้เป็นส่วนหนึ่งของการศึกษาตามหลักสูตรปริญญาวิทยาศาสตรมหาบัณฑิต

ภาควิชาวิศวกรรมเครื่องกล

บัณฑิตวิทยาลัย จุฬาลงกรณ์มหาวิทยาลัย

พ.ศ. 2524

i 1785670x

STUDY ON THE FORMULATION OF STANDARD TESTING
FOR FLAT PLATE SOLAR COLLECTORS

Mr. Santi Kunavut

A Thesis Submitted in Partial Fulfillment of the Requirements
for the Degree of Master of Engineering
Department of Mechanical Engineering
Graduate School
Chulalongkorn University

1981

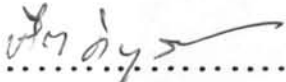
หัวข้อวิทยานิพนธ์ การศึกษาเพื่อกำหนดมาตรฐานการทดสอบแผงรับแสงอาทิตย์แบบแผ่นเรียบ
โดย นายสันติ คุณาวุฒิ
ภาควิชา วิศวกรรมเครื่องกล
อาจารย์ที่ปรึกษา ผู้ช่วยศาสตราจารย์ ดร. วิทยา ยงเจริญ
อาจารย์ที่ปรึกษาร่วม ดร. โอฟาร รัตนปราการ

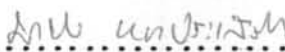
บัณฑิตวิทยาลัย จุฬาลงกรณ์มหาวิทยาลัย อนุมัติให้บัณฑิตวิทยาลัยฉบับนี้เป็นส่วนหนึ่ง
ของการศึกษาตามหลักสูตรปริญญาวิทยาศาสตรบัณฑิต

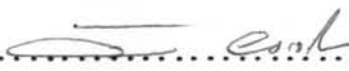

..... คณบดี บัณฑิตวิทยาลัย
(รองศาสตราจารย์ ดร. สุประดิษฐ์ บุณณาค)

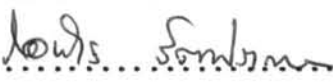
คณะกรรมการสอบวิทยานิพนธ์


..... ประธานกรรมการ
(ผู้ช่วยศาสตราจารย์ ดร. ทวี เลิศปัญญาวิทย์)


..... กรรมการ
(รองศาสตราจารย์ ดร. ปรีดา วิบูลย์สวัสดิ์)


..... กรรมการ
(ผู้ช่วยศาสตราจารย์ ดร. มาณิจ ทองประเสริฐ)


..... กรรมการ
(ผู้ช่วยศาสตราจารย์ ดร. วิทยา ยงเจริญ)


..... กรรมการ
(ดร. โอฟาร รัตนปราการ)

ลิขสิทธิ์ของบัณฑิตวิทยาลัย จุฬาลงกรณ์มหาวิทยาลัย

Thesis Title Study on the Formulation of Standard Testing for
 Flat Plate Solar Collectors

Name Mr. Santi Kunavut

Thesis advisor Assistant Professor Vithaya Yongcharean, Ph.D.
 Mr. Oran Rutanaprakarn , Ph.D.

Department Mechanical Engineering

Academic Year 1981

ABSTRACT

The outdoor testing method for determining an efficiency of a flat plate collector under climate condition of Thailand was studied with the aim of formulating a national testing standard procedure. This method employed four similar flat plate collectors connecting in series. Water was used as a heat transfer fluid in the open loop system. All of the measuring instruments were selected to satisfied the specified accuracy. It was found that the time required to complete one set of performance curves of solar collector was only one day under clear sky conditions.

The efficiency equations were determined from the data analysis. Time constant and collector pressure drop were obtained from the experimental results. The second degree polynomial equation fitted the experimental data better than the exponential equation or the straight line equation. The determination coefficient (R^2) of all the equation are better than 0.975



กิตติกรรมประกาศ

ผู้เขียนขอขอบพระคุณอาจารย์วิทยา ยงเจริญและอาจารย์โอฬาร รัตนปรากการ
อาจารย์ที่ปรึกษาวิทยานิพนธ์ที่ได้กรุณาให้คำแนะนำและให้การสนับสนุนอย่างดียิ่งแก่ผู้เขียนตลอดมา
จนทำให้วิทยานิพนธ์ฉบับนี้มีความสมบูรณ์ยิ่งขึ้น

ขอขอบพระคุณ คุณพ่อ คุณแม่ และคณาจารย์ทุกท่านที่ได้อบรมสั่งสอนผู้เขียนมาตั้งแต่ต้น
จนกระทั่งทำให้ผู้เขียนได้มีโอกาสเขียนวิทยานิพนธ์ฉบับนี้

ขอขอบคุณ คุณธนู จุ้ยฉาย ที่ให้คำแนะนำด้านคอมพิวเตอร์ บริษัท สยาม เทคโนโลยี
จำกัด ที่ได้กรุณาให้ยืมแผงรับแสงอาทิตย์ เจ้าหน้าที่สำนักงานพลังงานแห่งชาติและคณะอาจารย์
คณะวิศวกรรมศาสตร์ จุฬาลงกรณ์มหาวิทยาลัย ที่ได้สนับสนุนและให้กำลังใจแก่ผู้เขียนด้วยดีตลอดมา

สารบัญ

	หน้า
บทคัดย่อภาษาไทย	ง
บทคัดย่อภาษาอังกฤษ	จ
กิตติกรรมประกาศ	ฉ
รายการตารางประกอบ	ช
รายการรูปประกอบ	ญ
รายการสัญลักษณ์	ฎ

บทที่

1. บทนำ	1
2. การวิเคราะห์เชิงทฤษฎี	9
3. การดำเนินการทดลอง	24
4. ผลการทดลองและอภิปราย	34
5. ข้อเสนอแนะ	50
เอกสารอ้างอิง	52
ภาคผนวก	55
ประวัติการศึกษา	96

รายการตารางประกอบ

ตารางที่	หน้า
2-1 แสดงถึงค่า I เมื่อเปลี่ยนแปลงค่า c และ Z ซึ่ง $I_z = \int_0^z \frac{dz}{1 - \frac{1}{c+1} z - \frac{c}{c+1} z^2}$	15
2-2 แสดงค่าสูงสุดของ $Z_2/Z_1 = \Delta T_2/\Delta T_1$ ที่ค่า \bar{Z} ต่าง ๆ เมื่อมีค่าผิดพลาดไม่เกิน เงื่อนไข 1 % และ $I_z = \int \frac{dz}{1 - \frac{1}{c+1} z - \frac{c}{c+1} z^2}$	19
2-3 แสดงถึงค่า Z_2 สูงสุดเมื่อกำหนดค่า Z_1 ซึ่งมีค่าผิดพลาดไม่เกินเงื่อนไข 1 % ในกรณี $I_z = \int \frac{dz}{1 - \frac{1}{c+1} z - \frac{c}{c+1} z^2}$	19
4-1 แสดงให้เห็นถึงความแตกต่างระหว่างสมการประสิทธิภาพแบบโพสิโนเมียล กับสมการประสิทธิภาพแบบเอกโพเนนท์และกับสมการประสิทธิภาพแบบเส้นตรง	45
ก-1 แสดงถึงค่า I เมื่อเปลี่ยนแปลงค่า p และ Z, $I_z = \int_0^z \frac{dz}{1-z^p}$	62
ก-2 แสดงค่าสูงสุดของ $Z_2/Z_1 = \Delta T_2/\Delta T_1$ ที่ \bar{Z} ต่าง ๆ เมื่อผิดพลาดไม่เกิน เงื่อนไข 1 % ในกรณี $I_z = \int \frac{dz}{1-z^p}$	65
ก-3 แสดงค่า Z_2 สูงสุดเมื่อกำหนดค่า Z_1 ซึ่งมีค่าผิดพลาดจากเงื่อนไขไม่เกิน 1 % ในกรณี $I_z = \int \frac{dz}{1-z^p}$	65
ก-4 แสดงให้เห็นคุณสมบัติของน้ำที่มีผลต่อการทดสอบแผงรับแสงอาทิตย์	67
ข-1 ผลการทดลองของการทดสอบแผงรับแสงอาทิตย์แบบแผ่นเรียบในวันที่ 11 มกราคม 2524	71
ข-2 ผลการทดลองของการทดสอบแผงรับแสงอาทิตย์แบบแผ่นเรียบในวันที่ 16 มกราคม 2524	72

ตารางที่

หน้า

ข-3	ผลการทดลองของการทดสอบแผงรับแสงอาทิตย์แบบแผ่นเรียบในวันที่ 8 กุมภาพันธ์ 2524	73
ข-4	ผลการทดลองของการทดสอบแผงรับแสงอาทิตย์แบบแผ่นเรียบในวันที่ 13 กุมภาพันธ์ 2524	74
ข-5	ผลการทดลองของแผงรับแสงอาทิตย์โดย เปลี่ยนอัตราการไหลทันทีทันใด เพื่อหาเวลาคงที่ในวันที่ 16 กุมภาพันธ์ 2524	75
ข-6	ผลการทดลองของผลต่างของความดันกับอัตราการไหลต่อหนึ่งแผง	76

รายการรูปประกอบ

รูปที่

หน้า

2-1 แสดงความสัมพันธ์ระหว่างค่า I กับค่า Z ที่ค่า c ต่าง ๆ เมื่อ

$$I_Z = \int \frac{Z}{1 - \frac{1}{c+1} Z - \frac{c}{c+1} Z^2} dz \dots\dots\dots 16$$

2-2 แสดงความสัมพันธ์ระหว่างค่า Z_2/Z_1 สูงสุดกับค่า \bar{Z} ซึ่งมีค่าผิดพลาด

ไม่เกิน 1 % ในกรณี $I_Z = \int \frac{Z}{1 - \frac{1}{c+1} Z - \frac{c}{c+1} Z^2} dz$ เมื่อ $c = 0 \dots$ 17

2-3 แสดงความสัมพันธ์ระหว่างค่า Z_2 สูงสุดกับค่า Z_1 ซึ่งมีค่าผิดพลาดไม่เกิน

เงื่อนไข 1 % ในกรณี $I_Z = \int \frac{Z}{1 - \frac{1}{c+1} Z - \frac{c}{c+1} Z^2} dz$ เมื่อ $c = 0 \dots$ 18

2-4 แสดงความสัมพันธ์ระหว่างค่า Z_2 สูงสุดเมื่อกำหนดค่า Z_1 ซึ่งมีค่าผิดพลาด

ไม่เกินเงื่อนไข 1 % ในกรณี $I_Z = \int \frac{Z}{1 - Z^P} dz$ เมื่อ $P = 1 \dots\dots\dots$ 20

2-5 แสดงความสัมพันธ์ระหว่างค่าตัวประกอบ (γ) กับมุมตกกระทบ (θ) ซึ่งมีค่าผิดพลาดน้อยกว่า 1 % ไม่ว่าจะ เป็นกระฉากชนิดใด เมื่อมุม $\theta < 50^\circ \dots$ 21

3-1 ลักษณะการติดตั้งอุปกรณ์การทดสอบแผงรับแสงอาทิตย์แบบเอ้าท์ดอร์ 25

3-2 ลักษณะทั่วไปของอุปกรณ์การทดลอง 28

3-3 การติดตั้ง เทอร์โมคัปเปิลของแผ่นดูดของแผงที่หนึ่ง 28

3-4 โปเทนติโอมีเตอร์ 30

3-5 อุปกรณ์วัดความเร็วลม 30

4-1 แสดงประสิทธิภาพของแผงรับแสงอาทิตย์ในวันที่ 16 มกราคม 2524 ... 37

4-2 แสดงประสิทธิภาพของแผงรับแสงอาทิตย์รวมสี่วัน 38

4-3 แสดงประสิทธิภาพของแผงรับแสงอาทิตย์ซึ่งใช้จำนวนแผงรับแสงอาทิตย์ทดสอบเพียงหนึ่งแผง 39

รูปที่

หน้า

4-4	แสดงความสัมพันธ์ระหว่างผลต่างของความดันกับอัตราการไหลของของไหล	40
4-5	แสดงความสัมพันธ์ระหว่างอุณหภูมิกับเวลา เพื่อหาเวลาคงที่ของแผงรับแสงอาทิตย์ ในวันที่ 16 กุมภาพันธ์ 2524	41
4-6	แสดงความสัมพันธ์ระหว่างความเร็วลมกับช่วงเวลาที่เกิดลม	42
4-7	ตัวอย่างแผ่นกราฟบันทึกอัตราพลังงานแสงอาทิตย์ในวันที่มีสภาวะอากาศท้องฟ้าแจ่มใสตลอดวัน ซึ่งวัดในแนวพื้นระดับ	43
4-8	แสดงความสัมพันธ์ระหว่างตัวประกอบประสิทธิภาพ (F') กับสัมประสิทธิ์การพาความร้อน ($h_{f,i}$)	47
ก-1	แสดงความสัมพันธ์ระหว่างค่า I กับค่า Z ที่ค่า P ต่าง ๆ	
	เมื่อ $I_Z = \int \frac{dz}{1-z^p}$	63
ก-2	แสดงความสัมพันธ์ระหว่างค่า z_2/z_1 สูงสุดกับค่า \bar{z} ซึ่งมีค่าผิดพลาดไม่เกิน 1% ในกรณี $I_Z = \int \frac{dz}{1-z^p}$ เมื่อ $p = 1$	64
ค-1	สมการเวลา	80

รายการสัญลักษณ์

- A ... พื้นที่ของแผงรับแสงอาทิตย์, m^2
- a ... ค่าคงที่ของสมการประสิทธิภาพ
- b ... ค่าคงที่ของสมการประสิทธิภาพ
- b_o ... ค่าคงที่ของสมการประสิทธิภาพ
- b_l ... ค่าคงที่ของสมการประสิทธิภาพ
- C ... ค่าความจุความร้อน, กิโลวัตต์/ม.²
- C_p ... ค่าความร้อนจำเพาะ, กิโลจูลย์/(กก.-^oค.)
- C'_p ... ค่าความร้อนจำเพาะของตัวกลางในกาลอสมิเตอร์, กิโลจูลย์/(กก.-^oค.)
- c ... ค่าคงที่
- c_l ... ค่าคงที่
- D ... เส้นผ่าศูนย์กลางของท่อ, นิ้ว
- D_i ... เส้นผ่าศูนย์กลางภายในของท่อ, นิ้ว
- E ... สมการเวลา, นาที
- F' ... ตัวประกอบประสิทธิภาพของแผงรับแสงอาทิตย์
- F_R ... ตัวประกอบถ่ายเทความร้อนของแผงรับแสงอาทิตย์
- H ... อัตราพลังงานความร้อนที่นำไปใช้ประโยชน์, กิโลวัตต์
- $h_{f,i}$... สัมประสิทธิ์การพาความร้อน, กิโลวัตต์/(ม²-^oซ.)
- i ... ดัชนีแสดงการรวม
- K_b ... สัมประสิทธิ์การนำความร้อนของแผ่นดูดและท่อ, กิโลวัตต์/(ม-^oซ.)
- L ... เส้นแวงที่สถานที่นั้นตั้งอยู่, องศา
- L_{st} ... เส้นแวงมาตรฐาน, องศา
- l ... ความยาวของท่อ, ม.



- m ... มวล, กก.
- \dot{m} ... อัตราการไหลของของไหล, กก./ว.
- N ... จำนวนข้อมูล
- n ... จำนวนวันของปี
- p ... ค่าคงที่ของสมการประสิทธิภาพ
- Q ... อัตราพลังงานแสงอาทิตย์ทั้งหมดต่อหน่วยพื้นที่, กิโลวัตต์/ม².
- R² ... สัมประสิทธิ์สัมพัทธ์ (determination coefficient)
- S ... มุมเอียงของระนาบแผงรับแสงอาทิตย์, องศา
- T ... อุณหภูมิใด ๆ, °ซ.
- T_a ... อุณหภูมิของบรรยากาศล้อมรอบ, °ซ.
- \bar{T}_b ... อุณหภูมิเฉลี่ยของแผ่นดูดตำแหน่งที่อยู่บนท่อ, °ซ.
- T_i ... อุณหภูมิของของไหลที่เข้าแผงรับแสงอาทิตย์, °ซ.
- T_o ... อุณหภูมิของของไหลที่ออกจากแผงรับแสงอาทิตย์, °ซ.
- \bar{T}_p ... อุณหภูมิเฉลี่ยของแผ่นดูด
- T_{p1} ... อุณหภูมิของแผ่นดูดจุดที่หนึ่ง, °ซ.
- T_{p2} ... อุณหภูมิของแผ่นดูดจุดที่สอง, °ซ.
- T_{p3} ... อุณหภูมิของแผ่นดูดจุดที่สาม, °ซ.
- T_s ... อุณหภูมิของท้องฟ้า, °ซ.
- T₁ ... อุณหภูมิขาออกของของไหลของแผงที่หนึ่ง, °ซ.
- T₂ ... อุณหภูมิขาออกของของไหลของแผงที่สอง, °ซ.
- T₃ ... อุณหภูมิขาออกของของไหลของแผงที่สาม, °ซ.
- T₄ ... อุณหภูมิขาออกของของไหลของแผงที่สี่, °ซ.
- t ... เวลา, วินาที
- t' ... ความหนาเฉลี่ยของแผ่นดูดกับท่อ, ม.
- U ... ค่าคงที่ของสัมประสิทธิ์การสูญเสียความร้อน, กิโลวัตต์/(ม² · °ซ.^P)

- U_L ... ค่าสัมประสิทธิ์การสูญเสียความร้อนขึ้นอยู่กับอุณหภูมิ, กิโลวัตต์/(ม.²-°ซ.)
 U_0 ... ค่าคงที่ของสัมประสิทธิ์การสูญเสียความร้อน, กิโลวัตต์/(ม.²-°ซ.)
 U_1 ... ค่าคงที่ของสัมประสิทธิ์การสูญเสียความร้อน, กิโลวัตต์/(ม.-°ซ.)²
 V ... ความเร็วลม, ม./ว.
 V_w ... ปริมาตรของน้ำที่บรรจุอยู่ภายในแผงรับแสงอาทิตย์
 W ... ระยะทางระหว่างท่อ, ม.
 γ ... ตัวประกอบ
 γ' ... มุมแอพลิเคชัน, องศา
 δ ... มุมเดคคลีเนชัน, องศา
 δ' ... ความหนาของแผ่นดูด, ม.
 $(\tau\alpha)_e$... ค่าประสิทธิผลของผลคูณการยอมให้รังสีผ่านทะเลและการดูดรังสี
 $(\tau\alpha)_n$... ค่าประสิทธิผลของผลคูณการยอมให้รังสีผ่านทะเลและการดูดรังสี ในแนวตั้งฉากกับแผงรับแสงอาทิตย์
 θ ... มุมตกกระทบ, องศา
 ω ... มุมเนื่องจากเวลา, องศา
 ϕ ... เส้นรุ้ง, องศา
 τ ... เวลาคงที่, นาที
 η ... ประสิทธิภาพอินสแตนต์เทเนียส
 ΔT_m .. ความแตกต่างของอุณหภูมิเฉลี่ยของของไหลและบรรยากาศล้อมรอบ เมื่อประสิทธิภาพเท่ากับศูนย์ (stagnation condition)
 ΔT_{m0} .. ความแตกต่างของอุณหภูมิเฉลี่ยของของไหลและบรรยากาศล้อมรอบ เมื่อประสิทธิภาพเท่ากับศูนย์ (stagnation condition) ของสมการประสิทธิภาพแบบเส้นตรง